

FOTO nº 9901 DM

Afloramiento de pizarras grises con sulfuros dispersos (5).



FOTO nº 9902 DM

Alternancia de pizarras y pizarras psamíticas (5) en bancos centimétricos.



FOTO nº 9903 DM

Afloramiento de pizarras bandeadas (5) del C.E.G.



FOTO nº 9904 DM

Detalle de la foto anterior. 1: Estratificación. 2: Esquistosidad de Fase 1.



FOTO nº 9905 DM

Afloramiento en escarpe de cuarcitas precámbricas (5).



FOTO nº 9906 DM

1: Conglomerados del C.E.G. (5) 2: Pizarras y grauvacas del C.E.G. (5). 3: Pizarras y cuarcitas ordovícicas (7).



FOTO nº 9907 DM

Detalle de la foto anterior. Posibles "megaripples" a techo de los conglomerados (5).



FOTO nº 9908 DM

Detalle de la estructura interna y de los cantos de los conglomerados (5).



FOTO nº 9909 DM

1: Pizarras negras (5) del C.E.G. 1: Pizarras bandeadas y grauvacas (5) del C.E.G.

3: Relieves ordovícicos.



FOTO nº 9910 DM

Pizarras carbonosas bandeadas con sulfuros (5) del C.E.G.



FOTO nº 9911 DM

Cuarzo-grauvacas negras (5) del C.E.G. con "ripples" de ola a techo.



FOTO nº 9912 DM

Panorámica del Ordovícico en las inmediaciones de Herguijuela de la Sierra. 1: Cuarcitas del Ordovícico (8). 2: Pizarras y cuarcitas ordovícicas (7). 3: Complejo Esquisto Grauváquico (5). 4: Granito biotítico inequigranular ± cordierita ±moscovita (3d). 5: Herguijuela de la Sierra.



FOTO nº 9913 DM

Panorámica del Ordovícico (Puerto de Las Batuecas). 1: Cuarcitas blancas del Ordovícico (8). 2: Pizarras y cuarcitas ordovícicas (7). 3: Conglomerados basales del Ordovícico (6). 4: Complejo Esquisto Grauváquico (5).



FOTO nº 9914 DM

Panorámica del Ordovícico de la Sierra de La Alberca. 1: Cuarcitas blancas del Ordovícico (9). 2: Pizarras y cuarcitas ordovícicas (7). 3: Coluviones (11).

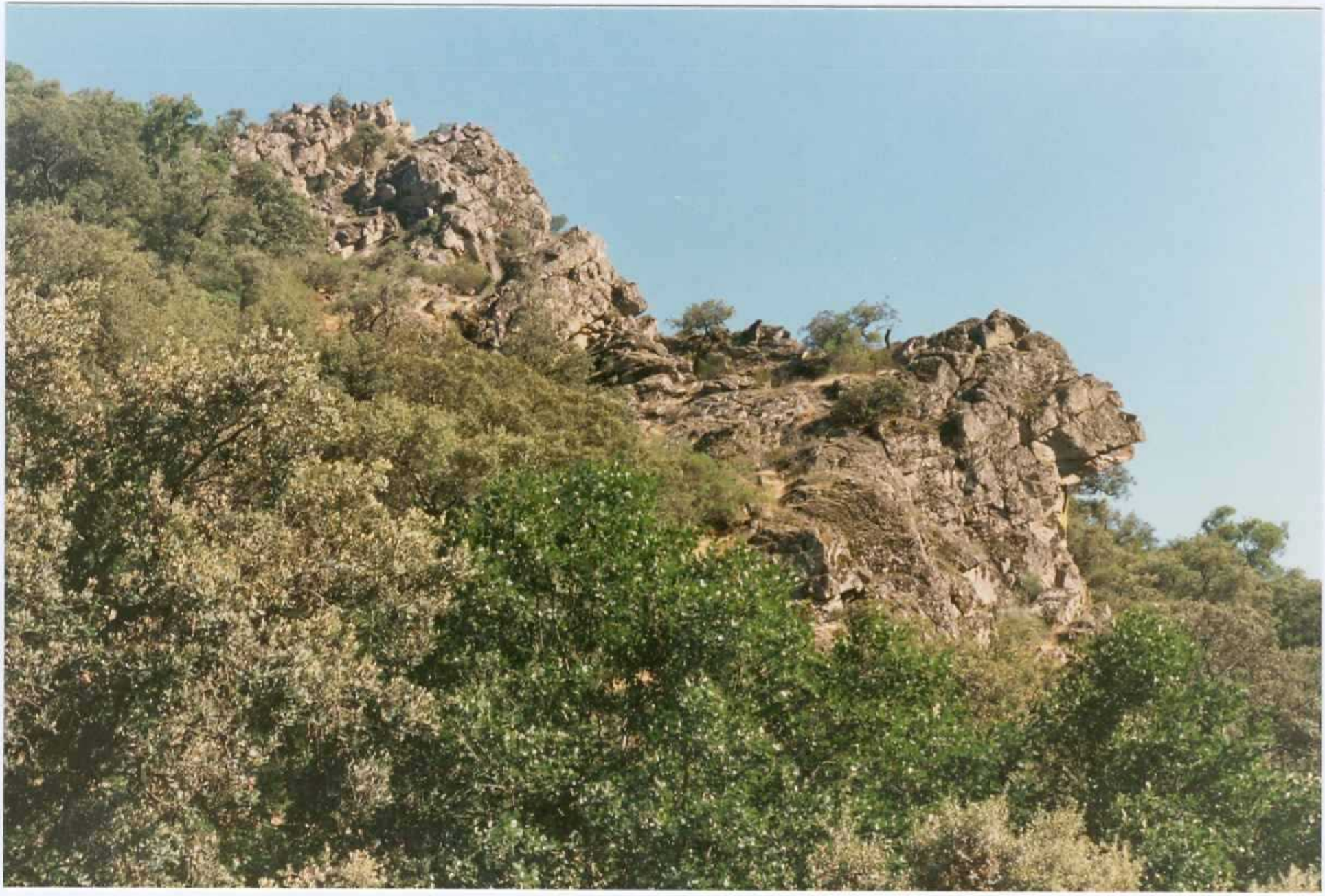


FOTO nº 9915 DM

Vista parcial de un afloramiento de conglomerados ordovícicos (6).



FOTO nº 9916 DM

Detalle de los cantos y bloques cuarcíticos del conglomerado ordovícico (6).



FOTO nº 9917 DM

Cuarcitas blancas del Ordovícico (8).



FOTO nº 9918 DM

Cantos subredondeados con matriz arenosa (9) sobre granitos en el Cerro Pendón (755).



FOTO nº 9919 DM

Detalle de la foto anterior. Sedimentos mal clasificado y con intenso lavado.



FOTO nº 9920 DM

Pliegue métrico de Fase 1 en alternancia de pizarras psamíticas y pizarras del C.E.G. (5).



FOTO nº 9921 DM

Pliegues menores de Fase 1 en pizarras y pizarras psamíticas del C.E.G. (5).

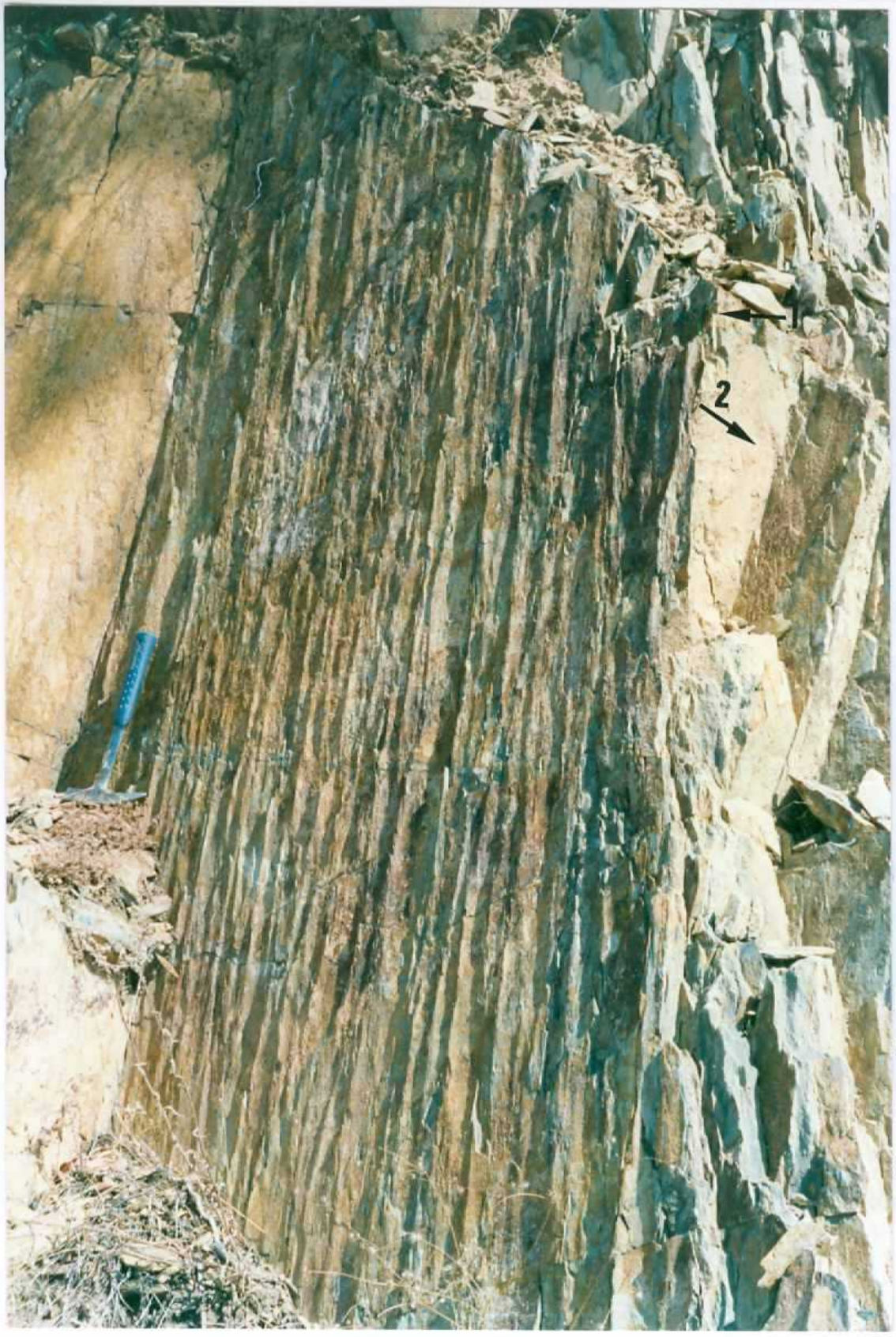


FOTO nº 9922 DM

"Kink band" en areniscas (5) del C.E.G. 1: Estratificación. 2: Esquistosidad de Fase 1.



FOTO nº 9923 DM

Cuarcitas ordovícicas (8) con esquistosidad de Fase 1 marcada por "Skolithos".



FOTO nº 9924 DM

Pliegue isopaco 1 B de Ramsay de Fase 1 en cuarcitas (8) ordovícicas.



FOTO nº 9925 DM

"Ripple Marks" en cuarcitas (8) ordovícicas.



FOTO nº 9926 DM

Vista parcial de un afloramiento de granitos biotíticos porfídicos (3a), con desarrollo característico de bolos y diaclasado.



FOTO nº 9927 DM

Granito biotítico inequigranular (3c) intensamente alterado y atravesado por dique de cuarzo de dirección NE-SO y fuerte buzamiento al Sur.



FOTO nº 9928 DM

Vista general de un afloramiento de granito biotítico porfidico ± cordierita ± moscovita (3b).



FOTO nº 9929 DM

Orientación de feldespatos en granito biotítico porfídico ± cordierita ± moscovita (3b) según dos sistemas: N 30º E y N 130º E.



FOTO nº 9930 DM

Detalle de granito biotítico inequigranular ± cordierita ± moscovita (3d) intensamente alterado.



FOTO nº 9931 DM

Enclabe tonalítico de grano fino en granito biotítico porfídico (3a).



FOTO Nº 9932 DM

Dique tardío de cuarzo (1) de dirección N 30º E atravesando a granito biotítico porfídico ± cordierita ± moscovita (3b) intensamente alterado.



FOTO nº 9933 DM

Corneanas intercaladas entre pizarras y areniscas precámbricas incluidas dentro de la aureola de metamorfismo.



FOTO nº 9934 DM

Disyunción bolar típica en corneanas.